

## 海域の汚染物質受容限界について

京都大学工学部 正員 岩井重久  
正員 牛工頼輝

### 1. はじめに

急速に工業化の進む臨海工業地帯では、水質汚濁による公害を未然に防ぐための適当な措置をどうことが望まれる。この場合、工業立地による環境の汚染が、水産業、農業等の一次産業を圧迫するから、工業立地計画上で1次と2次との産業の間にはんらかの調和を見出さ必要に迫られる。工業立地を計画する場合、立地する産業の規模と工業出荷額から、将来排出されるであろう廃水量とは、どのような推定がつく。この場合、環境、ことに海域の汚染負荷受容限界がわかつておれば、調和のとくに廃水処理の方法を考案することができる。そして現在の処理では目標を達成し得ない場合には、立地工業上の制限を加えること可能となる。そして将来の海域汚濁を防止するには、どのような廃水について、どの程度まで水質浄化を目指し処理技術を開発すべきかを予測することもできる。あるいは消極的な方法ではあるが、海域の漁業権を部分的に消滅させ、廃水の受容能を増大させよう方法もあらかより。このように、海域の汚染負荷受容限界の決定は重要な意味を持つが、その設定は多くの困難なこととなる。岩井は、大阪湾の堺・岸北臨海工業地帯の水質規準設定に際してこの考え方を導入したが、最近は鹿島工業港の立地に際して同様の考え方方が用いられて、一方の海域の汚染負荷受容限界が決定された。この問題はまだ多く未解決の点を含んでおり、それに対する光明や希望へ多くの興味ある研究課題を提供している。ニヒル一方の考え方を提示して、御批判をあびたい。

### 2. 鹿島工業港の計画

鹿島工業港は、茨城県鹿嶋郡鹿島町を中心として、海岸より丁字型に掘削して人工港を作成し、そなへて約3300万m<sup>3</sup>を工業用地として造成し、鉄鋼、電力、石油精製、石油化学等の重化学工業コンビナート、オムニカルを中心としてとりよし軽機械工業等の関連工業、住宅、第三次産業群を設置し、年間1兆5千億円を越える工業出荷額を持ち、国際競争力を備えような性格の工場群を全く新規に作ろうとするものである。

図-1によると、中央水路を東西600m、延長2500m、水深16m、40万トン級の船舶入港可能な港湾を構築し、これから北水路を東西300m、延長2450m、水深10m、南北水路を東西幅員300m、延長3600m、水深7.5~10mの2水路を丁字型に附設する。防波堤内部には、これら20万トン級タンカーの接岸可能な5m岸壁を作り、関連施設を表-1に示すが、工業用水道を東西約150万m<sup>3</sup>/日、

表-1 施設整備の目標

種別	整備の目標
港湾	10万吨級入港可能
道路	整備延長 約100km
工業用水道	給水量 約150万m <sup>3</sup> /日
上水道	給水人口 30万人 給水量 12万m <sup>3</sup> /日
公共下水道	排水人口 30万人
住宅	宅地造成 600ha 住宅戸数 12,000戸
鉄道	鹿島線(水戸~鹿嶋)約70kmと北陸海鉄道線
学校	高校4、中学校5、小学校10
公園	200ha

表-1工場道と表-2の30万人を対象とし、 $12 \text{万m}^3/\text{日}$   
の給水を予定する。

工場配置は、表-1、表-2の通り、5つの地区に各種の業種別に分散して立地させる。  
その予想される生産規模は表-3のようである  
が、鉄鋼および石油化営を中心となつており、  
従業員数を8万人余、年出荷額を1兆5千億円  
と見込んである。将来人口として日漸30万人  
を想定し、これらは次産業と三次産業との関連  
人口が大半を占める。

さて、これから各工業の昭和50年における総  
廢水量は、海水・淡水を含めて表-4によると  
1日 $1220\text{万トン}$ に達し、これらの中処理廢水  
 $1334\text{万m}^3/\text{日}$ と推定される。汚泥負荷量は、COD  
 $z=108 \text{t}/\text{日}$ 、SS  $z=164 \text{t}/\text{日}$ 、油分  $z=7.5 \text{t}/\text{日}$

であるが、各社の計画

図-1 鹿島港計画図

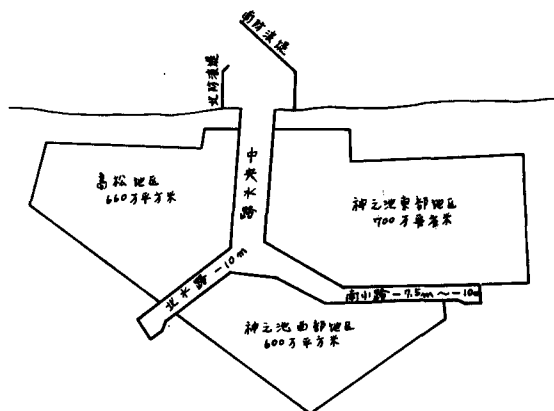


表-2 工場配置の想定

地区名	面 積	想定業種
高松	670ha (200万坪)	鉄鋼
神之池東部	830 (250)	石油精製、石油化営、電力
神之池西部	600 (180)	機械、金屬化営等
波崎	330 (100)	化営、機械、食品等
その他	900 (270)	機械、金屬、石油精製等関連産業
合計	3,300 (1,000)	

表-3 工業生産規模の想定

業種	面 積	従業員数	投資額	年生産額	用水量
鉄鋼	300	20,000人	3,000億円	3,500億円	600
石油精製	100	1,000人	1,200	2,000	85
石油化営	300	15,000人	6,000	5,000	1,100
機械金属	150	25,000人	1,000	1,500	45
その他	120	20,000人	1,000	2,000	100
計	970	81,000人	12,200	14,000	1,930
火力発電	30	500人	800	1,000	50
合計	1,000	81,500人	13,000	15,000	1,980

表-4 廃水量、汚泥負荷量(想定)

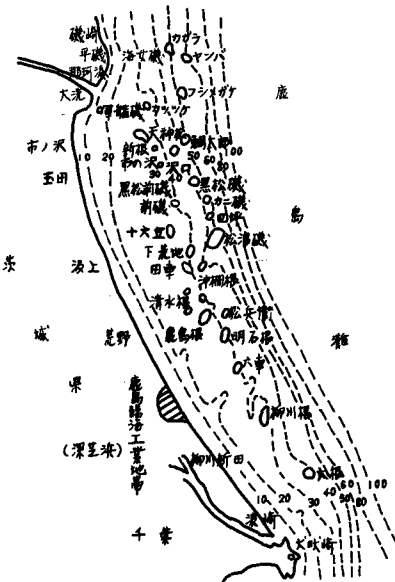
業種別	廢水量 ( $\text{m}^3/\text{日}$ )		負荷量 ( $\text{t}/\text{日}$ )				
	冷却廃水		中処理廃水		處理前		個別処理後
	COD	SS	COD	SS	COD	SS	油分
(高松地区) 鉄 鋼	1,816,000 (7.5%削減) 426,000	122,000	60	130 (0.59)	30	13.4	0.59
(神之池地区) 石油精製 化 営 金 山 其 の 他	1,260,000 3,850,000 55,000 123,600	29,000 188,000 2,000 1,500	4.35 43.064 0.64 0.043	<5.8 28.042 0.695 0.221	2.03 4.728 0.2 0.006	<0.28 11.036 0.074 0.043	<2.9 6.384 0.086 0.051
神之池地区 合 計	5,288,600 7,104,600 7,447,100	220,500 342,500 108,097	48.097 164.758	34.758 7.554	6.964 41.433	11.433 22.821	0.834 1.424
電 力 總	4,800,000 11,904,600	342,500 12,247,100					

### 3. 鹿島地区の水産業

鹿島灘は屈曲に乏しい单调な海岸線をもち、200 m以浅の大陸棚は沖合約30 Kmに亘り、等深線は海岸線とはほぼ平行である。海底は距岸4000 m附近までには砂質、それより沖は岩、砾から成り、天然の富源は湧湯といつていい。この附近は大崎崎附近から離岸して北東に向う黒潮(暖流)と、海岸沿いに北から来る親潮(寒流)の接觸となり、レバがてて鰐地性と冷水性との魚類が共存している。根付性の魚類としてはタチ、ヒラメ、カレイ類、ソイ、メバル、マチ、ホウボウ、サメなどがあり、また迴遊性の魚としては、カタクチイワシ、アジ、サバ、ブリなどがあり、貝類には水深10 m以浅に棲息するキヨウセンハマグリ、コダマガレイ、タジベイイキサゴ、ホツキなどがあり、これらは水産物を対象として、貝巻、地曳網、タコ壺、達網など諸漁業が行なわれている。鹿島灘の天然魚礁の分布は図-2のようであり、すなばく昭和39、40年の漁獲量は表-5のようである。鹿島灘全体の漁獲高は年間約1億円であるが、このうち、ハマグリ、ヒラメ、シラスがその主要部分を占める。

茨城県は鹿島港建設にあたって、図-3に示すように港口を中心とした半径約4 Kmの半円状内にあたる面積2000万m<sup>2</sup>の漁業権を、100%買取50%削減させている。

図-2 鹿島灘沿岸の等深線と天然魚礁の分布



### 4. 海域の拡散実験

廢水の海域における拡散状態を観測するため、トレーサーによる拡散実験を実施した。これは、前回の報告<sup>2)</sup>と同じくFluorescein Sodaを海中に投入し、その分布をヘリコプターからカラー写真で撮影して、写真上で色素の見える限界の範囲を測定することにより、拡散体積を求めるという方法によつてしたものである。

過去の工業港が完成した時の廃水の拡散状況を、現在のまだ防波堤や港湾掘込みが十分な状態で推定することはえわめて困難である。そこで実験は、現海域における廃水の拡散能の測定と、模型による将来の水流変化状況の観察とを総合して判定する。

表-5 鹿島灘地区(大洗～浪崎町)漁獲統計(主要魚種)

魚種	39年度		40年度	
	量 Kg	金額千円	量 Kg	金額千円
シラス	460,958	28,121	84,140	5,894
ブリ	3,509	490	1,142	196
タチ	11,060	5,247	12,511	7,750
スズキ	2,733	870	2,411	768
イシモチ	5,945	1,014	13,160	2,395
ヒラメ	45,976	18,078	9,207	4,360
ホウボウ	3,044	435	4,332	924
ボラ	100	74	1,285	154
サメ	13,032	1,303	11,899	1,189
タコ	4,632	1,380	2,255	676
カニ	2,035	140	9,979	524
エビ	—	—	502	493
ハマグリ	662,293	52,984	242,930	59,535
地曳網	79,776	800	7,289	70
計	1,295,093	110,936	403,092	84,928

ニヒシレ。色素投入は、昭和42年12月2, 3, 4日に行なつたが、その日の風速・風向(表-6)、潮位(表-7)、投入位置(図-4)を示す。色素は20KgのFluorescein Sodaを30~60lの水で溶解させ、投入船で現地までこれを運搬して投入した。色素拡散を知るための航空写真は、1500mの高度よりヘリコプターで、色素投入後15分間隔で撮影した。すなはち別々に、採水船により色素集団の中心で表面および水深1m, 3m, 5m, 7mを二つずつ採水し、色素濃度を蛍光分析した。色素雲の中心点の流跡を図-4に、すなはち採水による色素濃度の測定結果を表-8に示す。カラーホーク写真から、前報告<sup>2)</sup>と同じ手法により、水平方向の拡散係数と流速とを求めて表-9のようになる。距岸1000m以内では防波堤の影響が当たるところがあり、流跡が岸に平行に引かれてしまうことが(図-4, C実), それより沖合では流跡は大体むね海岸に平行となり、すなはち流速は10~30cm/secである。潮流や風による流速、拡散係数の変化はあまりなく、反潮もない。拡散係数は $10^3 \sim 10^5 \text{ cm}^2/\text{sec}$ の間に変動しうるが、距岸1000mのA, B, C実の拡散係数の方が、2500mのD, E実よりも大きい値を示す。これは、岸に向かって碎波の中に入つて、拡散が良好になるとされる。

## 5. 汚染物質受容限界

将来、工業地区から排出される廃水量と質とは、表-4に示す通りである。各廃水のうち、廃水量には処理廃水量をとり、すなはち質量は各工場による個別処理後の値をとるものとする。廃水は港内放流を行ない、港の北と南の2地実、防波堤外距岸約500mのところに放流するものとする。これは、この港が人工港であり、港奥に淡水層がないために、港内に汚水を放流するに汚染物質が港内に蓄積されると思われるからである。

港から海中に連続的に廃水が放出されるときの汚染水の拡散をつづらうに表す。

基礎式は、

$$\frac{\partial C}{\partial t} = D_x \frac{\partial^2 C}{\partial x^2} + D_y \frac{\partial^2 C}{\partial y^2} - U_x \frac{\partial C}{\partial x} \quad (1)$$

であり、海中に汚染物質を一瞬間に投入したときの解は、前論文<sup>2)</sup>に示す通り、

$$C' = \frac{M}{4\pi D_x D_y t^{1/2}} e^{-\frac{1}{4t} \left( \frac{(x-U_x t)^2}{D_x} + \frac{y^2}{D_y} \right)} \quad (2)$$

である。

表-6 調査時における風況 (風速m/sec)

時 間 風速	日		
	12月2日	12月3日	12月4日
1 NW 4.0	NW 5.0	W 4.0	
2 NW 5.0	WSW 5.0	" 4.0	
3 W 4.0	W 3.5	WNW 3.0	
4 WNW 4.5	WNW 3.5	" 2.0	
5 NW 3.0	" 5.0	W 2.5	
6 W 3.5	" 4.5	" 4.0	
7 W 3.5	4.0	WNW 4.0	
8 W 3.0	" 3.5	" 3.5	
9 NW 3.0	NNW 4.0	" 2.5	
10 N 4.0	N 6.0	W 2.0	
11 NNE 1.0	" 4.0	" 3.0	
12 WSW 2.0	" 7.0	NW 2.0	
13 SW 1.0	" 5.0	W 3.5	
14 SSW 2.0	NNE 4.5	" 3.0	
15 SSW 3.0	NE 4.5	" 2.0	
16 S 3.5	" 5.0	" 2.5	
17 S 3.0	ENE 5.0	calm "	
18 S 2.5	" 4.5	ENE 3.0	
19 SSW 0.5	E 5.0	WSW 5.5	
20 calm	EWE 5.5	" 5.0	
21 "	" 5.0	W 5.0	
22 WNW 3.0	NE 3.0	WNW 4.5	
23 NW 7.0	NW 7.5	WSW 3.5	
24 NW 7.0	NW 3.0	W 4.0	
日平均風速	2.8	4.7	3.3
日最大風速	NW 7.0	NE 7.5	WSW 5.5
量多風向	NW	WNW	W

表-7 金兆3港潮汐表

月 日 時 間	12月2日			備考
	12月3日	12月4日	12月2日 12:30	
0 0.66	0.71	0.80	D実投入	
1 0.57	0.66	0.82		
2 0.49	0.58	0.77	12月3日 8:00	
3 0.42	0.51	0.70	E実投入	
4 0.41	0.43	0.62		
5 0.45	0.42	0.56	B, F実投入	13:00
6 0.53	0.48	0.53		
7 0.63	0.57	0.57	12月4日 8:00	
8 0.74	0.68	0.64	A-C実投入	
9 0.85	0.80	0.77		
10 0.92	0.87	0.71		
11 0.96	0.96	1.02		
12 0.99	1.01	1.10		
13 0.93	1.01	1.13		
14 0.88	0.96	1.10		
15 0.82	0.86	1.00		
16 0.75	0.74	0.84		
17 0.70	0.74	0.76		
18 0.67	0.56	0.54		
19 0.71	0.52	0.48		
20 0.74	0.56	0.47		
21 0.77	0.61	0.54		
22 0.78	0.68	0.75		
23 0.76	0.75	0.79		

二二  $v_1$ ,

九； 時間

$x, y$  ; 直交座標, 原点を海面汚染物質投入点,  $x$  を流れる方向  
 $v_1$  沿  $x$  水平  $v_2$ ,  $y$  を二軸  $v_3$  垂直  $x$  水平方向  $v_3$ 。

$D_x, D_y$  ;  $x, y$  方向の拡散係数

$v_x$  ;  $x$  方向の流速

$c'$  ; 汚染物質濃度(1次瞬間投入の場合)

$M$  ; 汚染物質1次投入量

$d$  ; 混合深さ

二の式を連続投入の場合に拡張する。 $v_1$  を連続投入速度とすれば、 $v_1$  と  $v_3$  の海水中汚染物質濃度(連続投入の場合)  $C$  は、

$$M = v_1 d t \quad \text{ただし} \quad t \geq 0,$$

$$C = \int_{-\infty}^t c'(t-t_0) dt$$

$$= \int_0^\infty c'(t) dt$$

$$= \frac{8 e^{\frac{x v_1}{2 D_x}}}{4 \pi d \sqrt{D_x D_y}} \int_0^\infty \left[ e^{-\frac{v_1^2 t}{4 D_x} - \frac{1}{4 \pi} \left( \frac{x^2}{D_x} + \frac{y^2}{D_y} \right)} \right] dt$$

二二  $v_1, t_0$ ; 投入開始時間, 三  $v_1$ ,  
 $t - t_0 = t$  とおこう。

$$a = \frac{v_1^2}{4 D_x}, \quad b = \frac{1}{4} \left( \frac{x^2}{D_x} + \frac{y^2}{D_y} \right)$$

$$\mu = \sqrt{ab} = \frac{v_1}{4} \sqrt{\frac{1}{D_x} \left( \frac{x^2}{D_x} + \frac{y^2}{D_y} \right)}$$

$$t' = \sqrt{\frac{a}{b}} t, \quad t' = e^{\mu} \quad \text{と置けば}$$

$$\int_0^\infty \left[ e^{-\frac{v_1^2 t}{4 D_x} - \frac{1}{4 \pi} \left( \frac{x^2}{D_x} + \frac{y^2}{D_y} \right)} \right] dt = \int_0^\infty \left[ e^{-at - \frac{b}{4}} \right] dt = \int_0^\infty \left[ e^{-\mu(t' + \frac{b}{4})} \right] dt' = \int_{-\infty}^\infty e^{-2\mu \cos t'} ds$$

$$= 2 \int_0^\infty e^{-2\mu \cos t'} ds = 2 K_0(2\mu)$$

二二  $K_0(2\mu)$

$$C = \frac{8 e^{\frac{x v_1}{2 D_x}}}{2 \pi d \sqrt{D_x D_y}} K_0(2\mu)$$

$$= \frac{8 e^{\frac{x v_1}{2 D_x}}}{2 \pi d \sqrt{D_x D_y}} K_0 \left( \frac{v_1}{2} \sqrt{\frac{1}{D_x} \left( \frac{x^2}{D_x} + \frac{y^2}{D_y} \right)} \right)$$

(3)

表-8 各採水層別ウラニン濃度  
 各採水層別ウラニン濃度  
 投入位置 A

月日	回数	採水時刻 時 分	各採水層別濃度 (ppm)				
			0 m	-1 m	-3 m	-5 m	-7 m
12月4日	1	8 20	9.30	9.25	0.66	0.195	9.20
	2	8 35	0.68	0.67	0.66	0.36	0.845
	3	8 50	0.24	0.575	0.555	0.0275	0.0885
	4	9 05	0.083	0.235	0.445	0.115	0.0765
	5	9 20	0.0445	0.12	0.335	0.047	0.058
	6	9 35	0.0275	0.083	0.0105	0.0365	0.0340
	7	9 50	0.026	0.0675	0.0465	0.0205	0.066
	8	10 05	0.021	0.076	0.089	0.034	0.009
	9	10 20	0.00125	0.0475	0.0405	0.0075	0.0055
	10	10 35	0.00765	0.0165	0.0445	0.0155	0.0085
	11	10 50	0.00815	0.016	0.00975	0.0255	0.0093
	12	11 05	0.00685	0.016	0.035	0.0094	0.0015

表-9 元素投入位置 A の拡散状況

投入 量 (kg)	距 岸 (m)	逃 離 時 間 (h)	流 速 (cm/sec)	拡 散 係数 (cm <sup>2</sup> /sec)	拡 散 範 囲		HW, LW
					平均流速 cm/sec	逃 離 範 囲 最大 最小 cm <sup>2</sup> /sec	
1 A	1,000	6 h	5.07	24	44 S 14	9.81 × 10 <sup>2</sup> S 1.25 × 10 <sup>5</sup>	2.44 × 10 <sup>3</sup>
2 B	1,000	3 h 20 min	1.33	21	11 S 25	5.00 × 10 <sup>3</sup> 2.45 × 10 <sup>5</sup>	6.21 × 10 <sup>3</sup>
3 C	500	3 h	1.42	13	12 S 22	9.27 × 10 <sup>2</sup> 2.78 × 10 <sup>4</sup>	1.53 × 10 <sup>3</sup>
4 E	1,500	3 h	2.44	22	22 S 34	4.39 × 10 <sup>3</sup> 2.42 × 10 <sup>4</sup>	1.07 × 10 <sup>3</sup>
5 G	1,400	1 h 50 min	1.49	19	17 S 25	1.73 × 10 <sup>2</sup> 3.62 × 10 <sup>3</sup>	3.62 × 10 <sup>3</sup>
6 D	2,400	1 h 30 min	0.77	16	14 S 20	1.62 × 10 <sup>2</sup> 8.49 × 10 <sup>2</sup>	1.80 × 10 <sup>3</sup>

を得る。だが、流線の中の“ $y$ ”の濃度最高の点即ち  $y=0$  の点であり、

$$C_{\max} = \frac{g}{2\pi d} \frac{e^{\frac{-x}{2D_x}}}{\sqrt{D_x D_y}} + C_0 \left( \frac{x}{2D_x} \right)$$

となる。“二式を用いれば”、連続放流の場合の海域の汚染度を計算により求めることができる。

次に、放流口からの廢水の流れは、港が完成すると現在のものとは違ったものがなる可能性がある。二点を推定すれば、京都大学防災研究所で模型実験が行なわれ、その流線として図-5が得られる。二点によると、潮流

は西側から南向きの恒流がある

ことは、港の南より北の潮流

これが廃水はいすから南方に向

って流れ。1年の間では、

わざわざ北より北向きの恒流が

現われる二点がある。二点の場

合の流れは、図-5の南北を反

対して東西よりは形となる。それ

で、図-3の漁業権消滅地区境

界に達するまで流下量は12,

最低で約3kmと算定される。

かかる。

図-3 漁業権消滅区域図

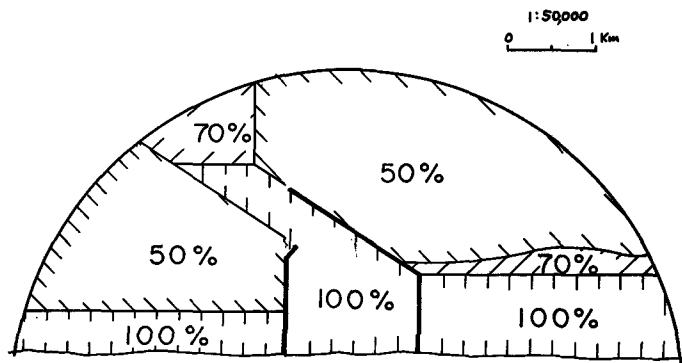
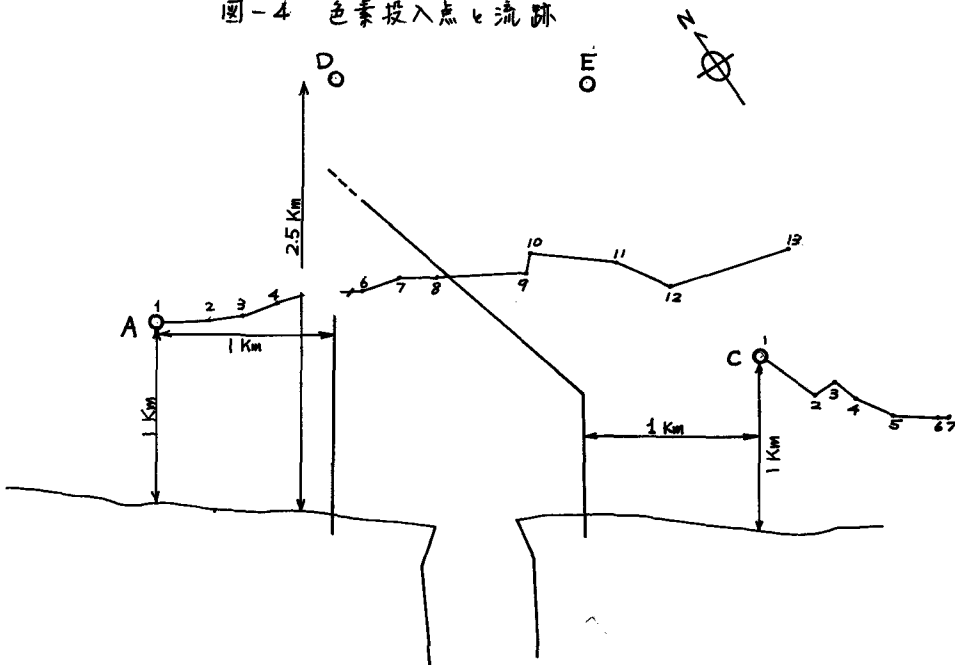


図-4 色素投入点と流跡



さて、環境問題として、第1回セミナー工17"和17" はらばい項目は異臭魚の問題である。魚の着臭限界についてはまだ明確な基準はないが、新田<sup>19</sup>によれば、廢油の限界は0.01 ppm、すなわち活性汚泥法により処理可能な0.02 ppmまでに安全であるといふ。ところが、現地振散実験から、安全側をみて実測値よりは少し大きい値、すなわち振散係数として  $10^3 \text{ cm}^2/\text{sec}$ 、流速  $20 \text{ cm/sec}$  をとり、すなばく  $8 \text{ km}$  で鉛直方向の色素濃度分布より、混合深さとすると  $5 \text{ m}$  をとて式(4)より1日許容放出量を計算すると、未処理の油に対する  $q = 0.12 \text{ t/day}$ 、すなわち活性汚泥処理廢水に対する  $q = 2.35 \text{ t/day}$  が得られる。

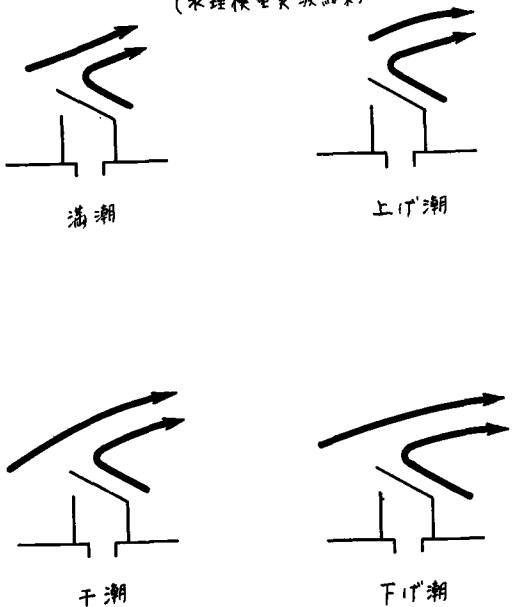
CODの場合は水質基準はないが、水産用水基準<sup>20</sup>では、BOD  $\leq 5 \text{ ppm}$  が提示されており、産業廢水については、一般のCOD値の方がBOD値よりも高いが、安全側をとること同じくある上と对比し、同様のCODの1日許容放出量は  $q = 60 \text{ t/day}$  となる。この結果と表-4の将来汚染負荷量とを比較してみると、CODの場合は問題ないが、油分については生物処理をしない放流しかねばならないことわかる。

## 6. 今後の問題点

環境は清潔であればそれが越してことはないが、第一次、第二次、第三次産業へ調和的発展を考えると、許容される環境にとって最適な汚泥物質貯留限界を設定することはどうかが重要な問題である。また、それが目標となる必要な廢水処理がなされねばならない。こうして貯留限界はどの設定がそれほど困難である、今後の研究開発に待つべき問題点が多いが、一次試算的分析のとれど、一応油分に対するCODの許容限界を本例について上記のように考えてみた。しかし試算の有効期間は今後数年間である、やがては改訂されなければならないものと考えていふ。ところが、今後どうするには既に研究が進みらるねばならないが、まだゼロから研究開発を当研究室で考えていかなければならぬ。

海域の汚泥物質貯留限界を定める最大の要因は、なんといっても海の環境基準である。水産物に対する基準としては、わが国には水産用水基準があり、その他ソ連等の基準も開発されていき、すでに精密なものはいいえがない。魚や貝の種類ごとにに対する基準が将来は必要になるであろう。また毒性重金属に対する基準は、それらの物質には水産生物体内に蓄積されうる性質があるなど、その面からの面積計りが必要である。なお、放射性物質による海水の汚染に関する问题是、研究がかなり進み、各

図-5 廃水の流向 (距離1Km流速27cm/sec)  
(水理模型実験結果)



放射性物質の水産生物中の濃縮率、濃縮係数<sup>\*</sup>を定量的に表示され、これについては信頼できる数値が参考となる<sup>5)</sup>。こうして数値を工場廃水にモビで海水の汚染を検討する上に参考になるものとなるべきである。その他、海水は game fishing, 水泳などハリケーンエーションにも使われ、それが国ごとに分けて 15 年を出すと水資源を海水の淡水化に頼るに過ぎないと思われる<sup>6)</sup>。これらの用水としての基準も考へておかなければならぬ。

拡散に関するところは、本研究では(1) 式<sup>7)</sup>の拡散係数を定数として取り扱つたが、海においては拡散によるものと比例する法則があり、(3) 式<sup>8)</sup>の理論的改善が必要である。海域の拡散混合に対する因子は、風浪、潮汐、恒流と他の因子が複雑に関係するから、海域の汚染物質容積界を定めるには、本法のように連続的に放流水から廃水の plume 上の最高濃度をうえ<sup>9)</sup>るではなく、いろいろな自然的水理現象の複雑な組合せ、数潮汐、数日あるいは季節ごとの海水の拡散混合、さらには対象水域の水塊の他の水塊との混合などを考慮する方が合理的である。松浦<sup>10)</sup>は、汚染物質放流点の近くに河川の流入があるとき、附近の海面の Alkalinity と Salinity を実測し、その相関を求めるにより、污水の海水との長期における混合状態を知る方法を提案している。鹿島港<sup>11)</sup>は、人工港<sup>12)</sup>淡水源の場合は二つの方法が適用されるのが、他の場所においては参考となり得る方法である。当研究室においては、このように海水の混合状態を数値モデル化し、電算機を用いて充実しようとする努力をつづめる。

### 参考文献

- 1) 岩井 増・東北臨海工業地帯の進出企業に対する「水質指導基準策定に関する調査報告」、大阪府公報室、昭 42, 1 月, pp. 95~175
- 2) 岩井、井上、寺島：トレーイングによる河川汚染の解析について、第 2 回本研論文集, p. 44, 昭 40.
- 3) 兵庫県公害審議会専門部会報告、昭 42, 11 月, p. 162
- 4) 水産用水基準、日本水産資源保護協会、昭 40
- 5) 松山義夫：水産生物の放射能汚染、原子力工業、10巻、7号、昭 39

\* 濃縮係数 =  $\frac{\text{水産生物中の放射能濃度}}{\text{海水中の放射能濃度}}$